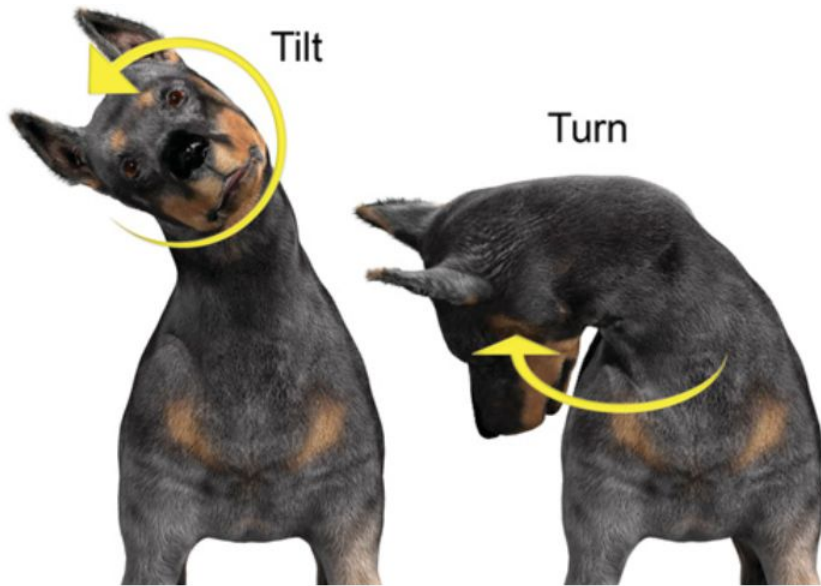


# Клинический случай вестибулярного синдрома

Плоскоклеточная карцинома (SCC)  
слюнной железы у кошки



# Что такое вестибулярный синдром?



# Оценка вестибулярного дефицита. А есть ли он?

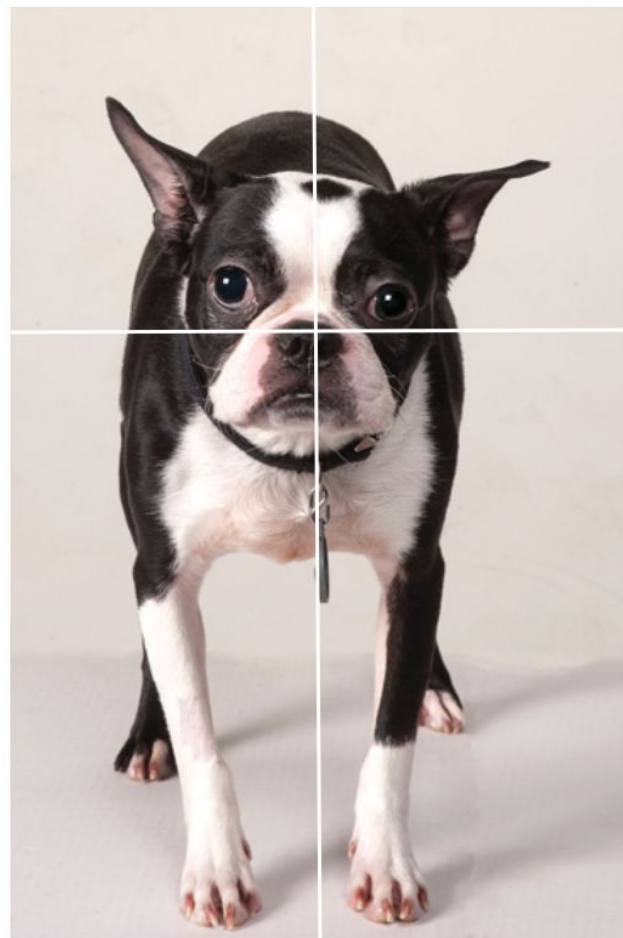
а



а



- Сила наклона головы не может указывать на степень поражённости вестибулярного аппарата
- Интенсивность наклона головы не имеет отношения к локализации поражения (центральный вестибулярный дефицит, периферический вестибулярный дефицит)



# Дифференциация вестибулярных дефицитов периферического и центрального

Neurologic sign	Peripheral	Central
Proprioceptive deficits	No	Usually
Altered mentation	No	Possible
Head tilt	Yes	Yes
Deficits other than CN VII or VIII	No	Possible
Nystagmus	Yes	Yes
Horizontal	Yes	Yes
Rotary	Yes	Yes
Vertical	No	Yes
Positional	No	Yes
Spontaneous	Yes	Yes
Conjugate	Yes	Yes
Dysconjugate	No	Yes
Strabismus	Yes	Yes

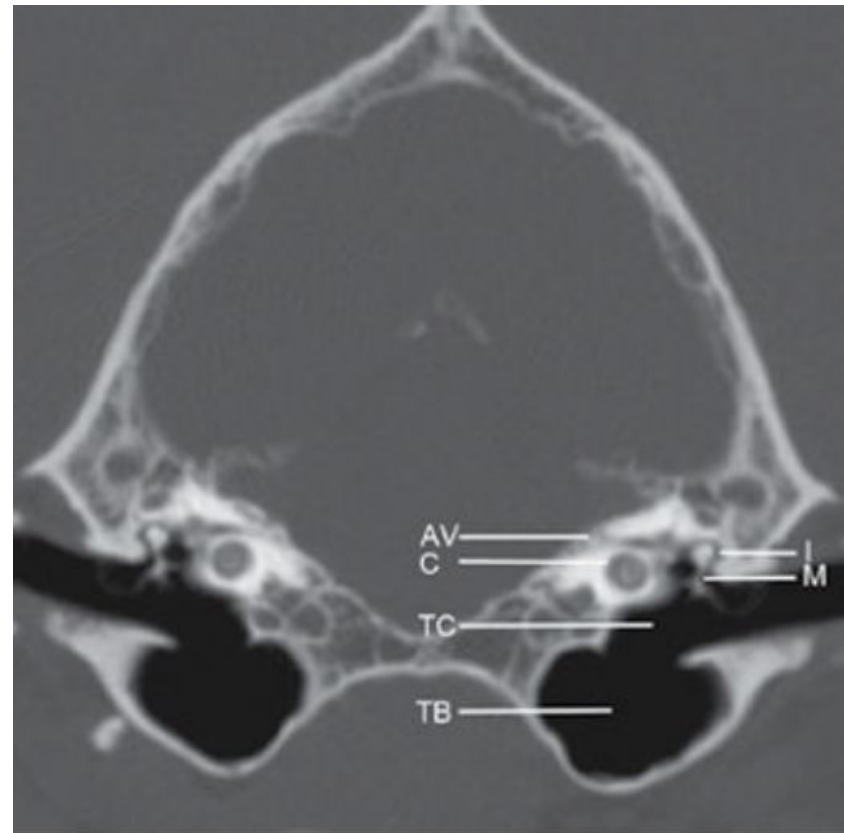
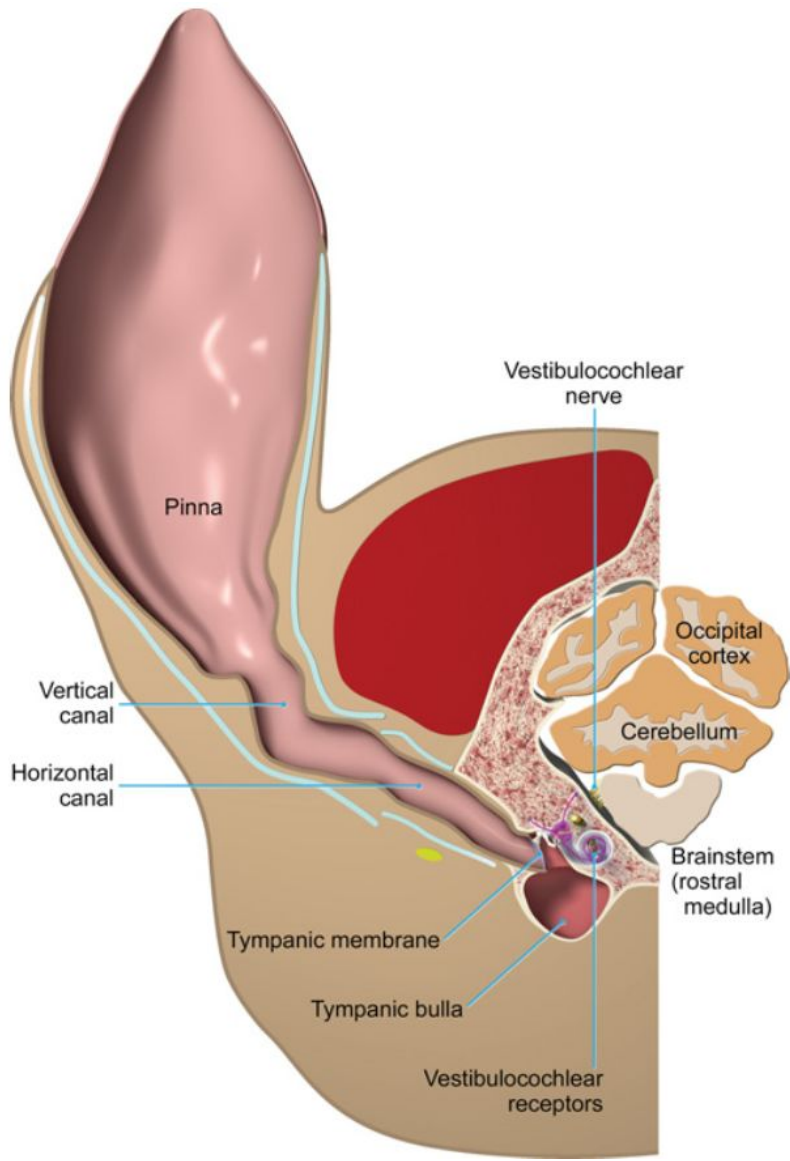
# Причины вестибулярного дефицита (центрального):

- Любой процесс, вовлекающий в себя структуры головного мозга может приводить к центральному вестибулярному дефициту
- Новообразования
- Воспалительные процессы/инфекции
- Токсическое воздействие
- Другие причины

# Причины вестибулярного дефицита (периферического):

- Дегенеративные/аномалии развития
- Метаболические
- Новообразования
- Идиопатические
- Воспаление/инфекции
- Токсическое воздействие
- Травма

# Клинический случай



# Анамнез на момент поступления

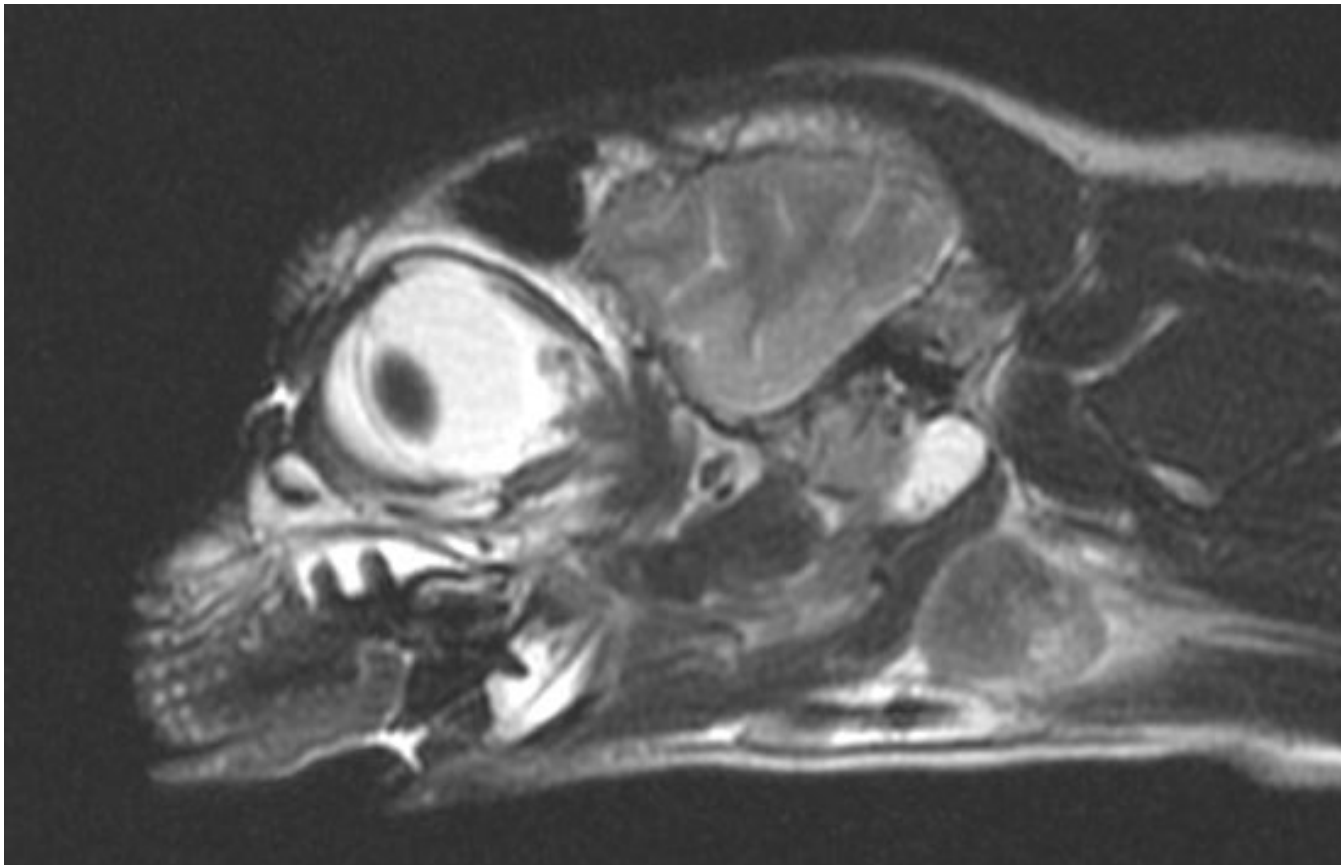
- 12.2017 - 01.2018 (Лечение отита)
- 01.2018 - 02.2018 (Лечение отита, проведение ЯМРТ\МРТ и проведение отоскопии)
- 02.2018 - 03.2018 (проведение ТИБ, ТИАБ, CORE)

# Проведенные исследования

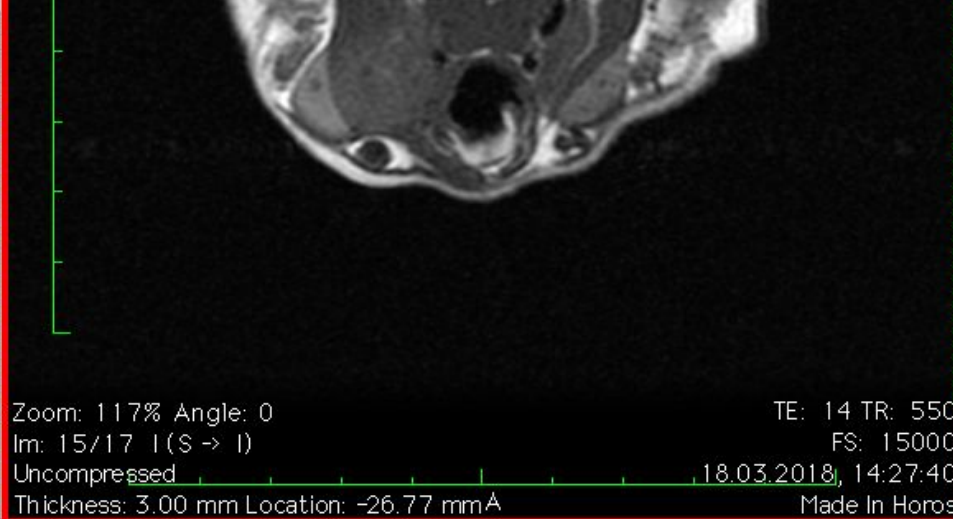
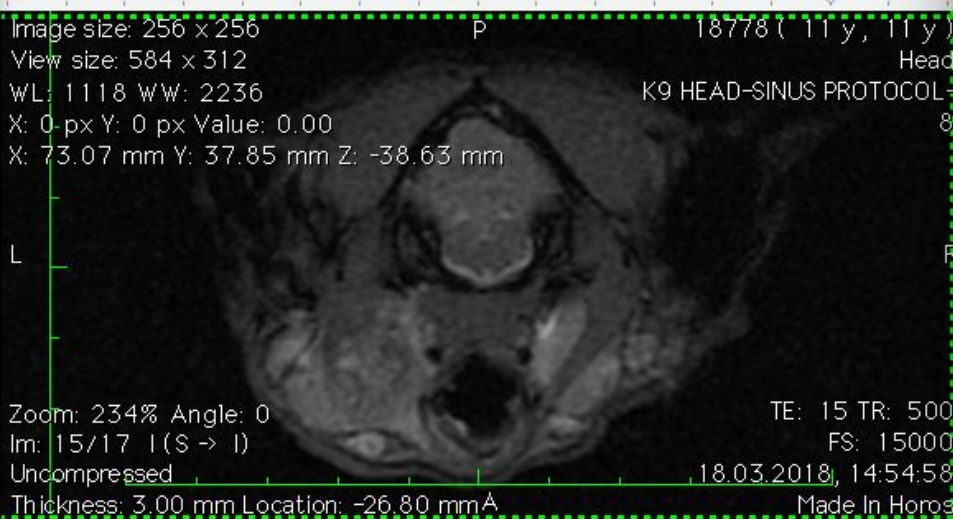
- Осмотр
- Неврологический осмотр
- Рентген головы
- ЯМРТ/МРТ головы (Ядерная магнитно-резонансная томография)
- Отоскопия
- ТИБ (Тонкоигольная биопсия)
- ТИАБ (Тонкоигольная аспирационная биопсия)
- КТ (Компьютерная томография)
- CORE-биопсия под контролем КТ

# Результаты исследования

- ЯМРТ/МРТ SAG T2 ВИ



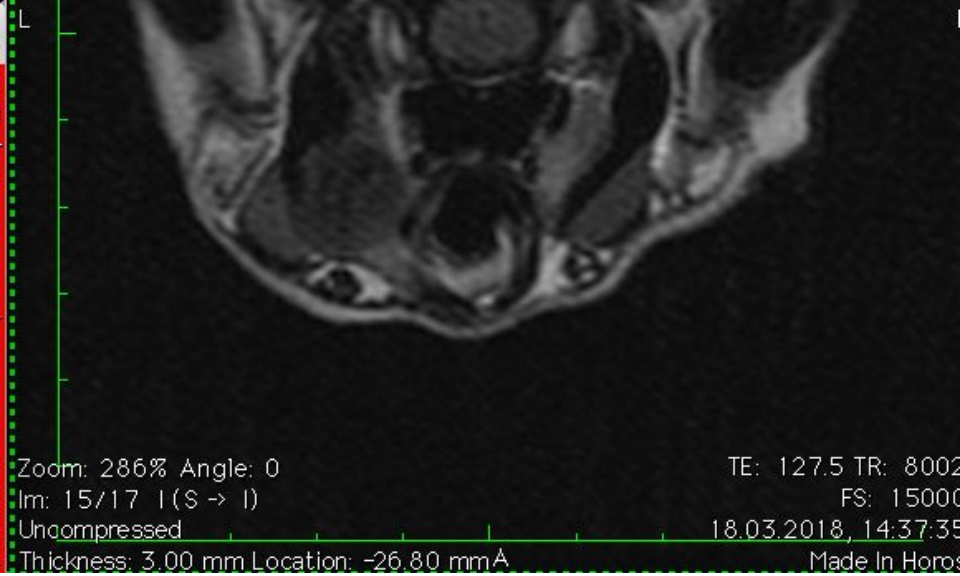
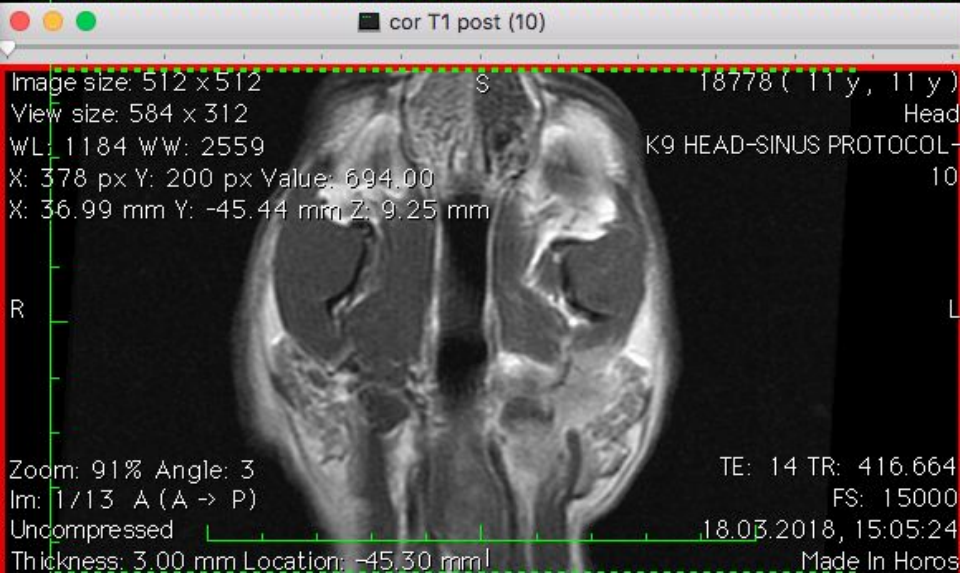
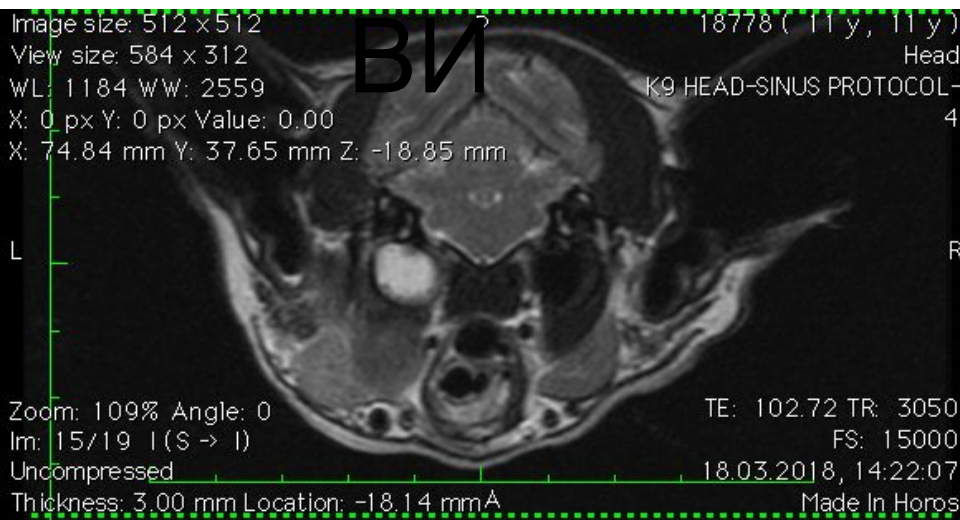
# Оценка МРТ-исследования



# T2

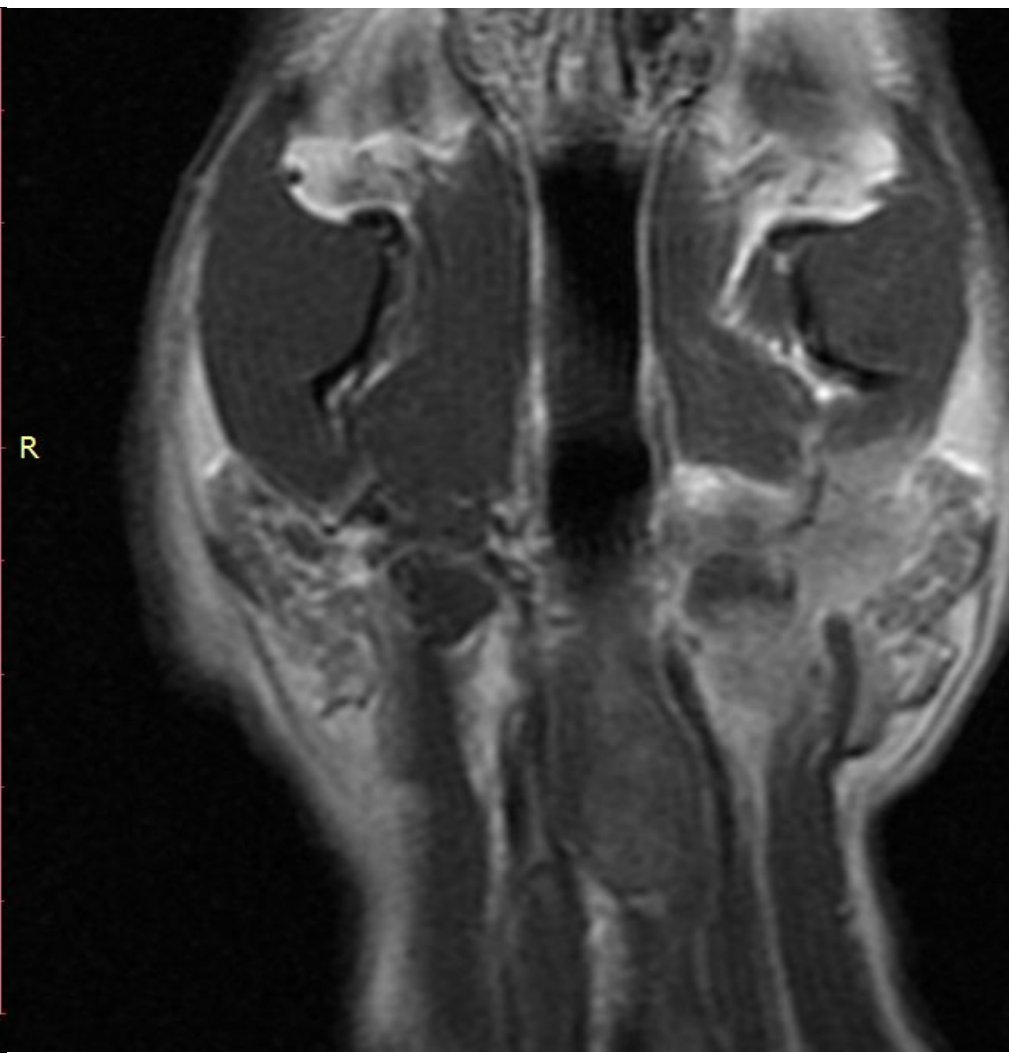
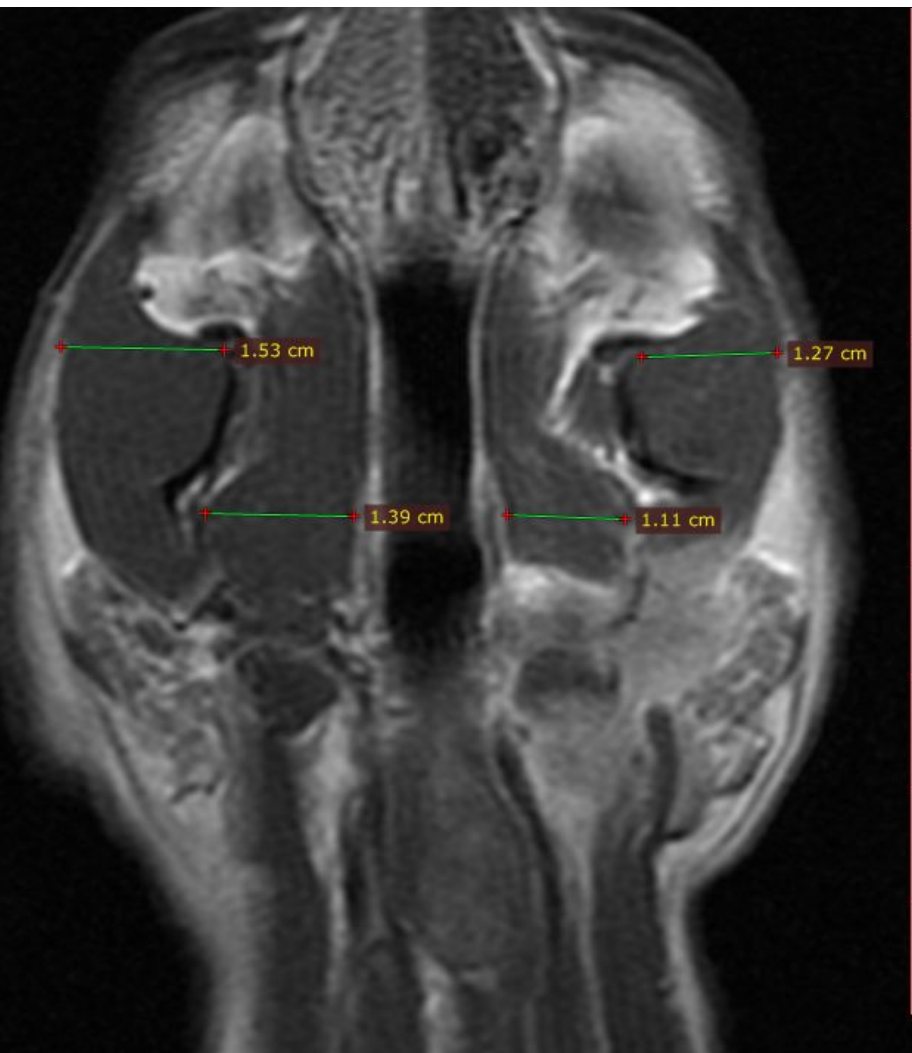
# FLAIR

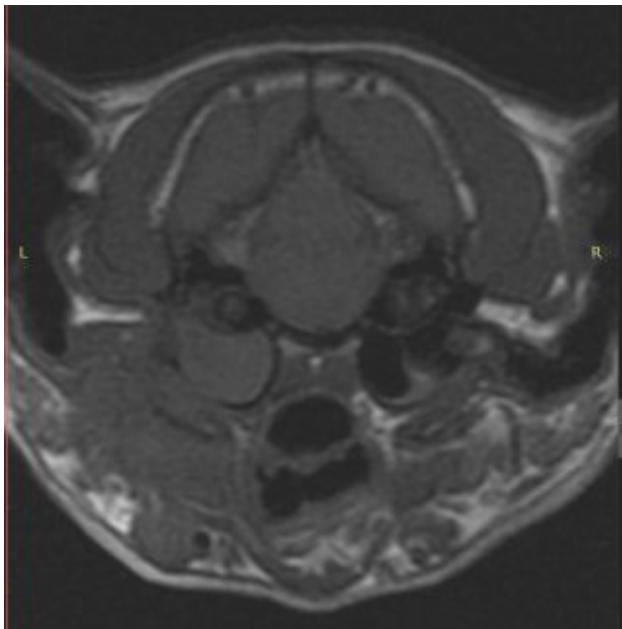
## BM



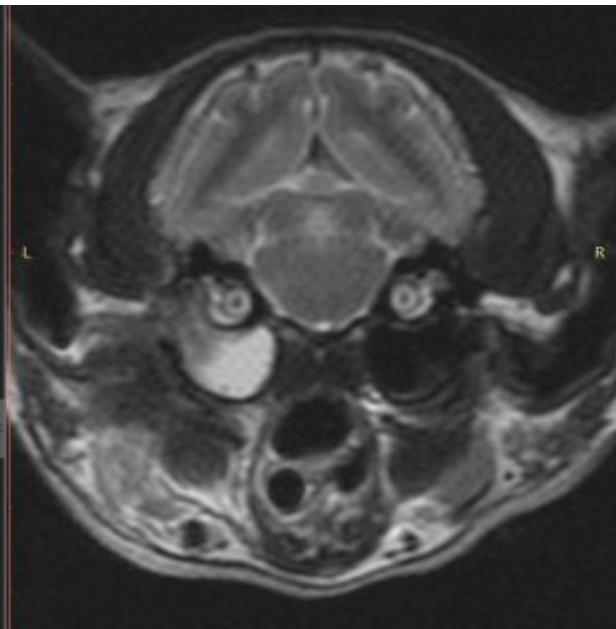
# T1 BM +

# Односторонняя атрофия височной МЫШЦЫ

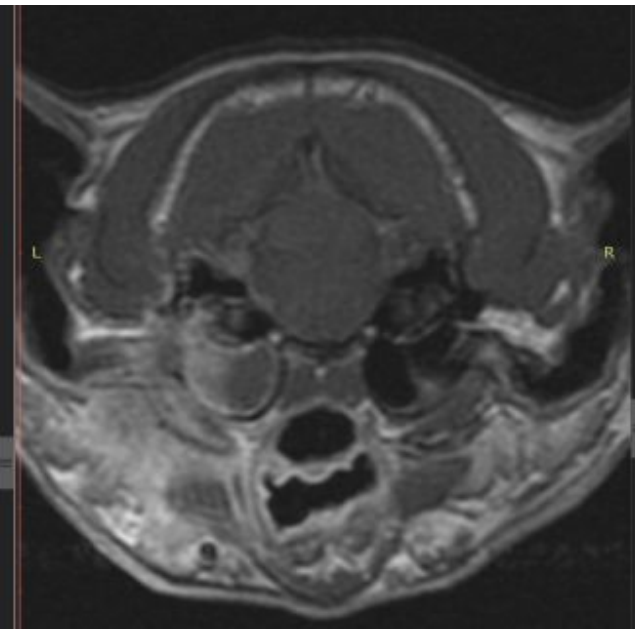




T1  
BI

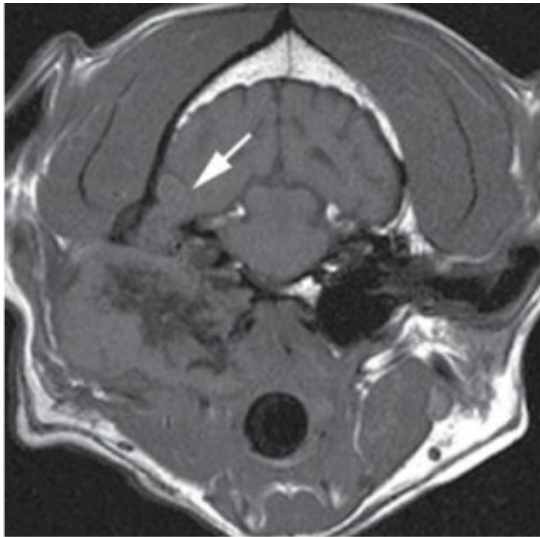


T2  
BI

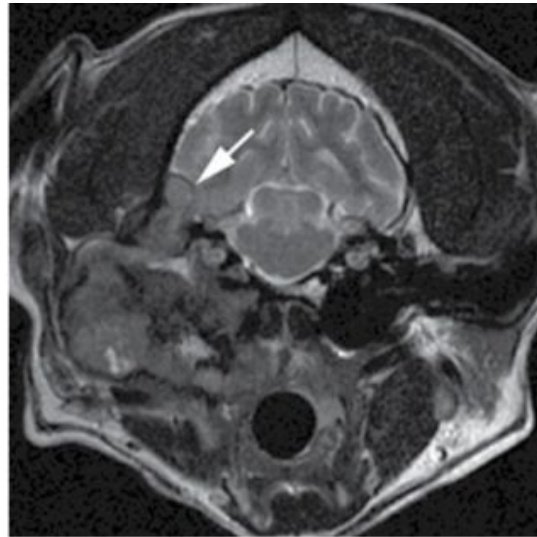


T1  
BI+contr

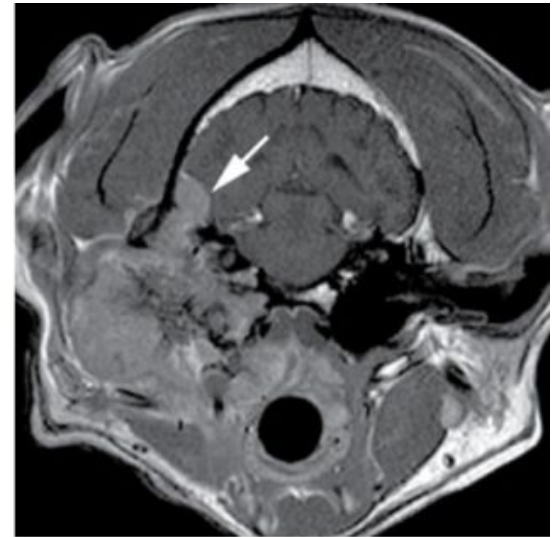
# SCC слюнной железы собаки (ЯМРТ/МРТ)



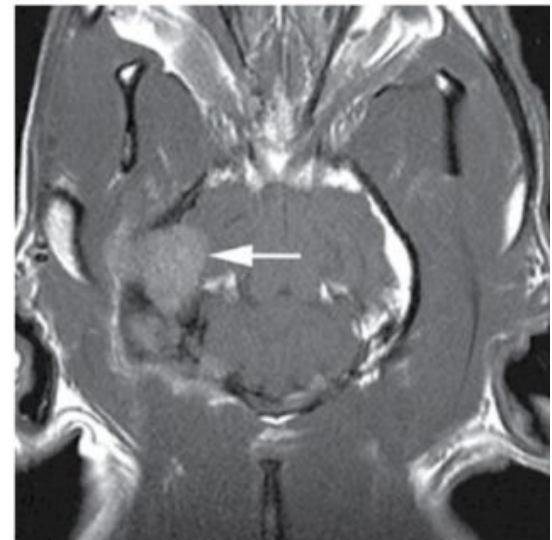
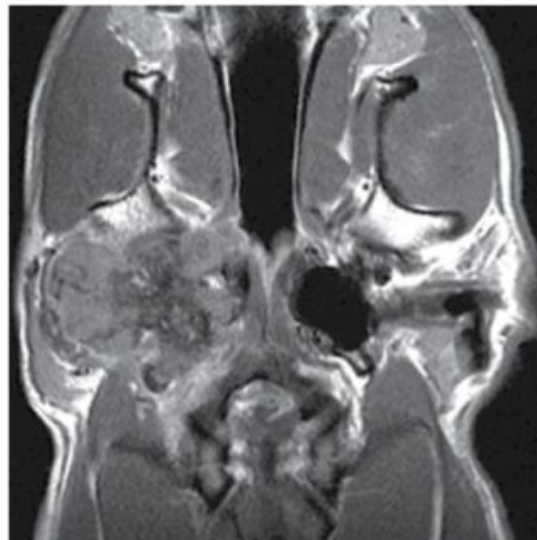
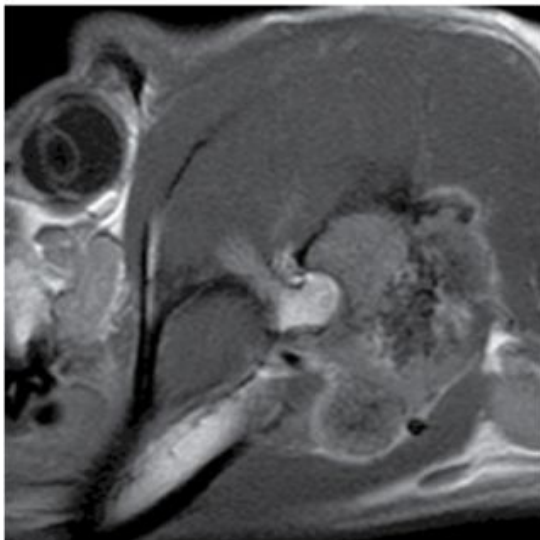
(a) T1, TP



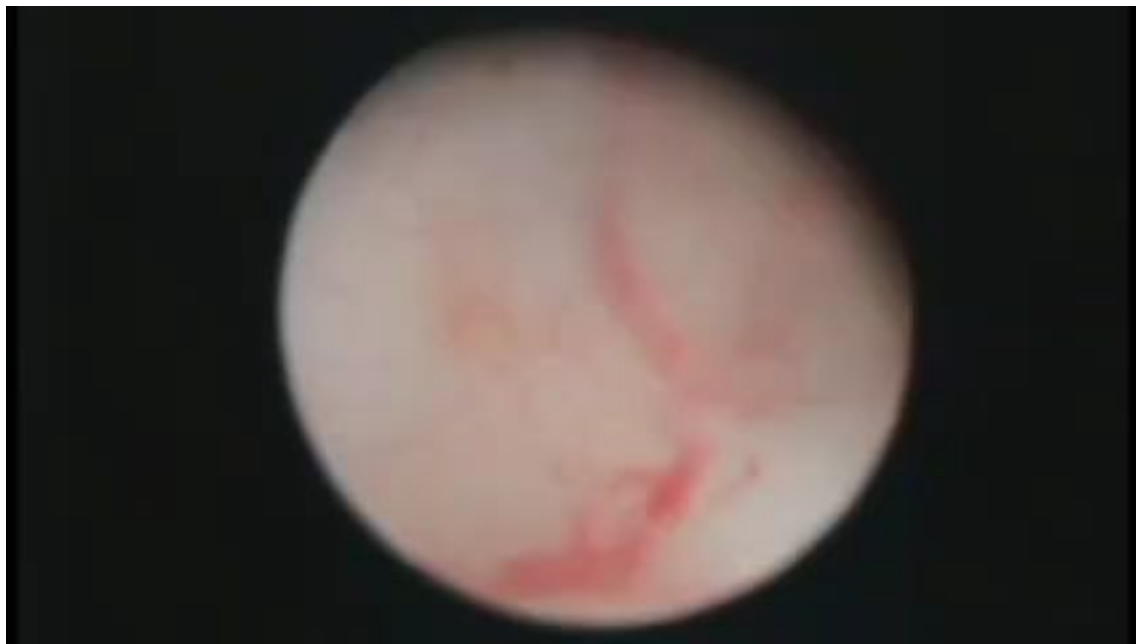
(b) T2, TP



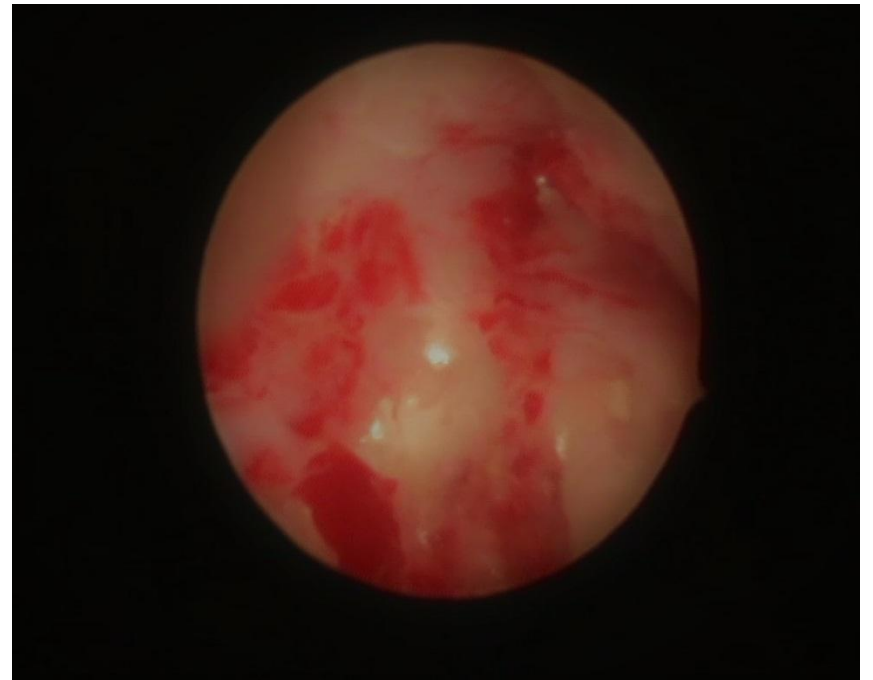
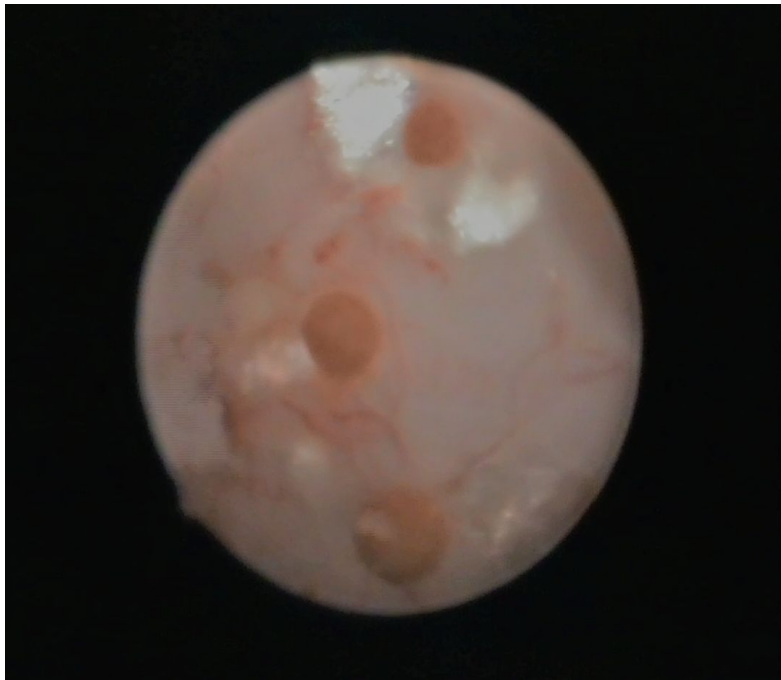
(c) T1+C, TP



# Видеоотоскопия

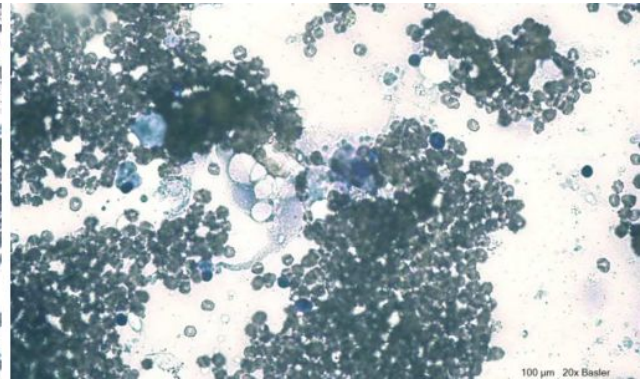
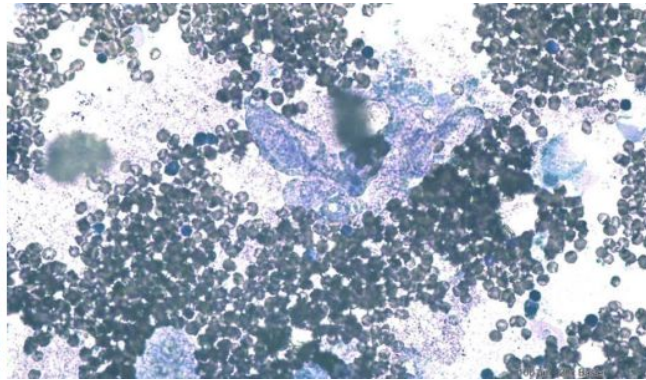
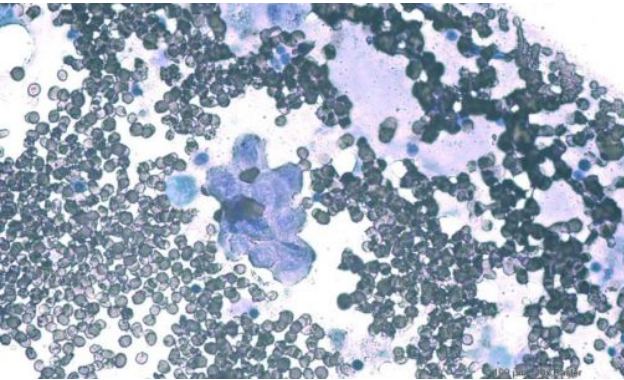


# Видеоотоскопия

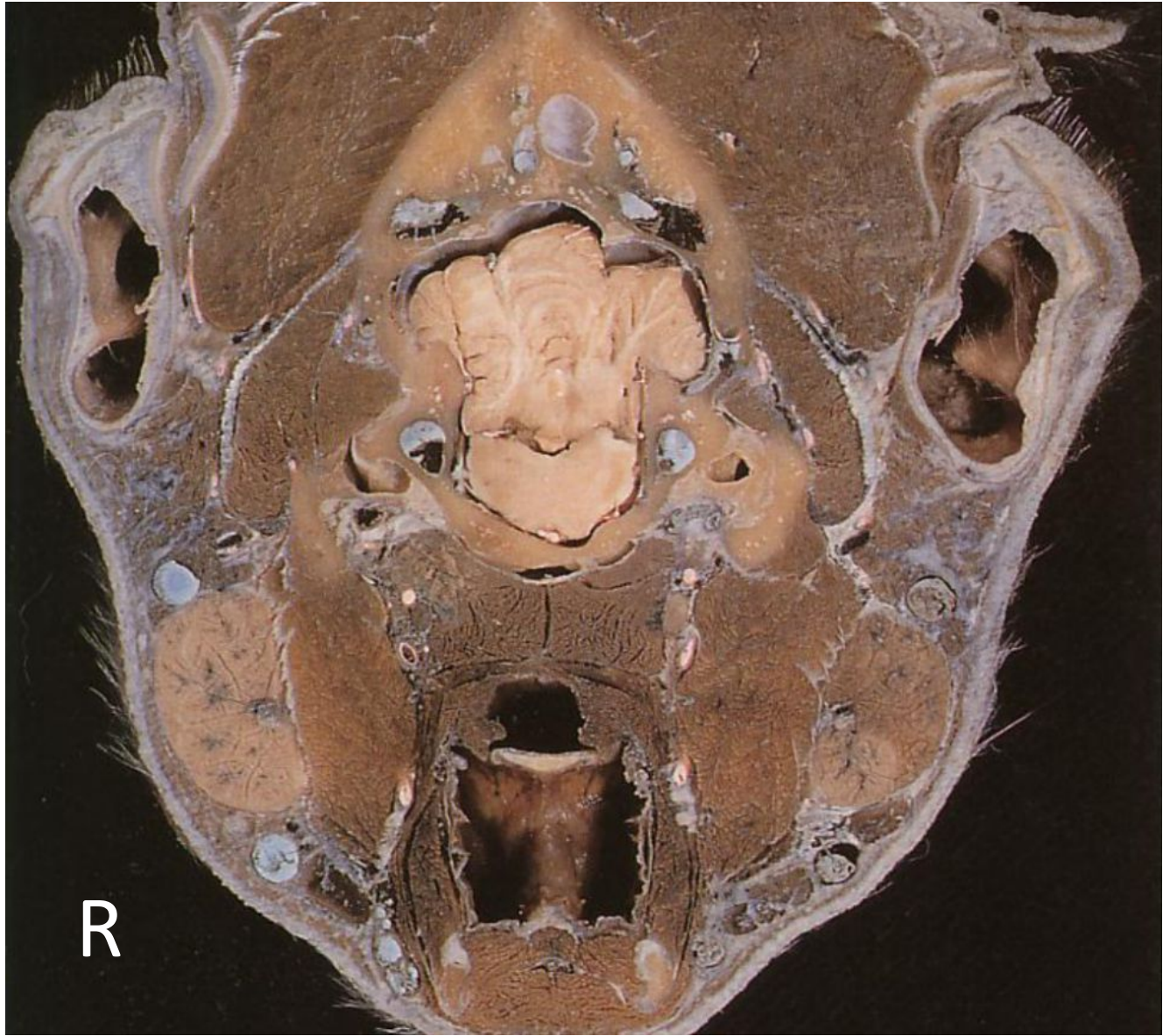


# Проведённые исследования

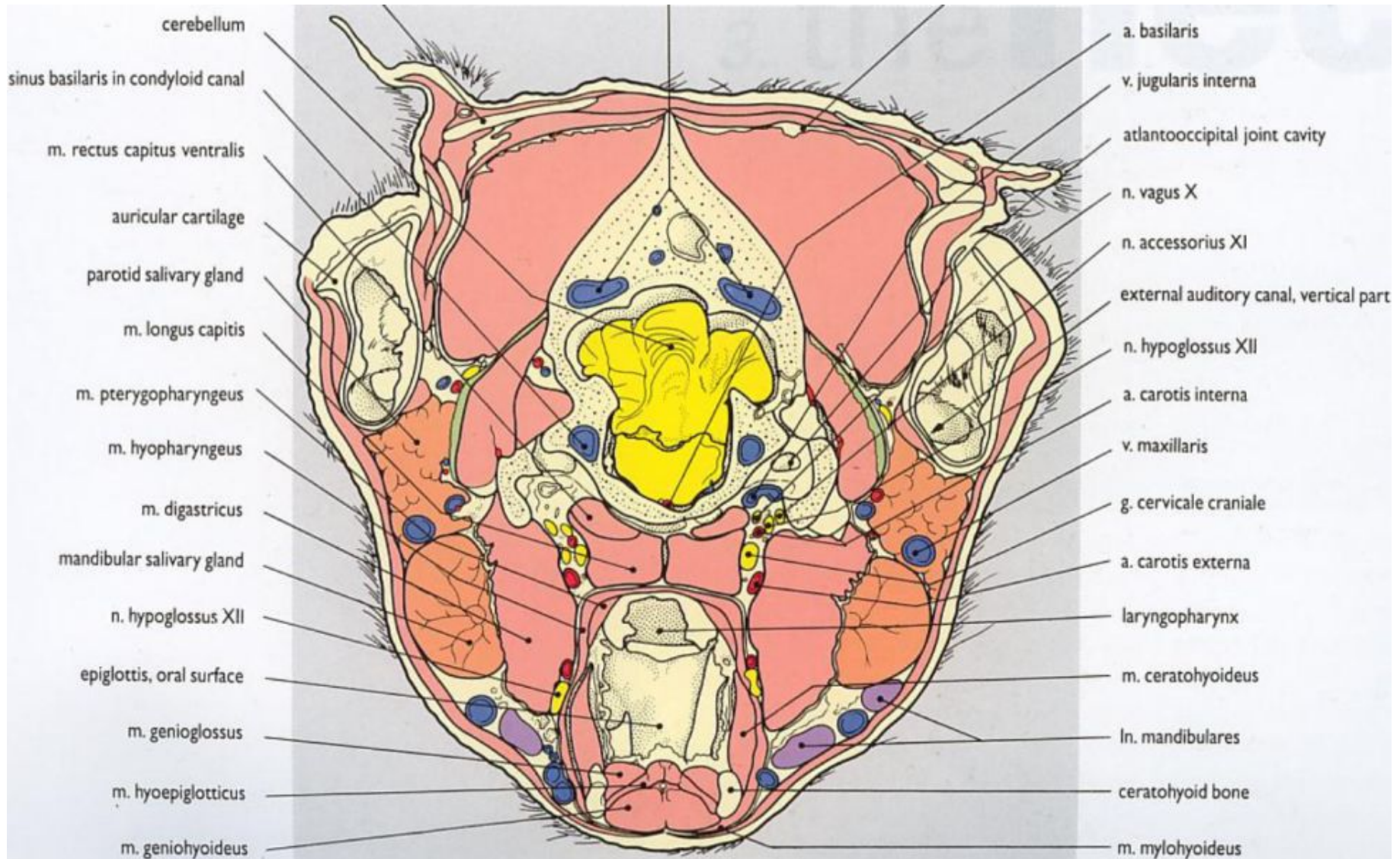
- ТИБ
- ТИАБ



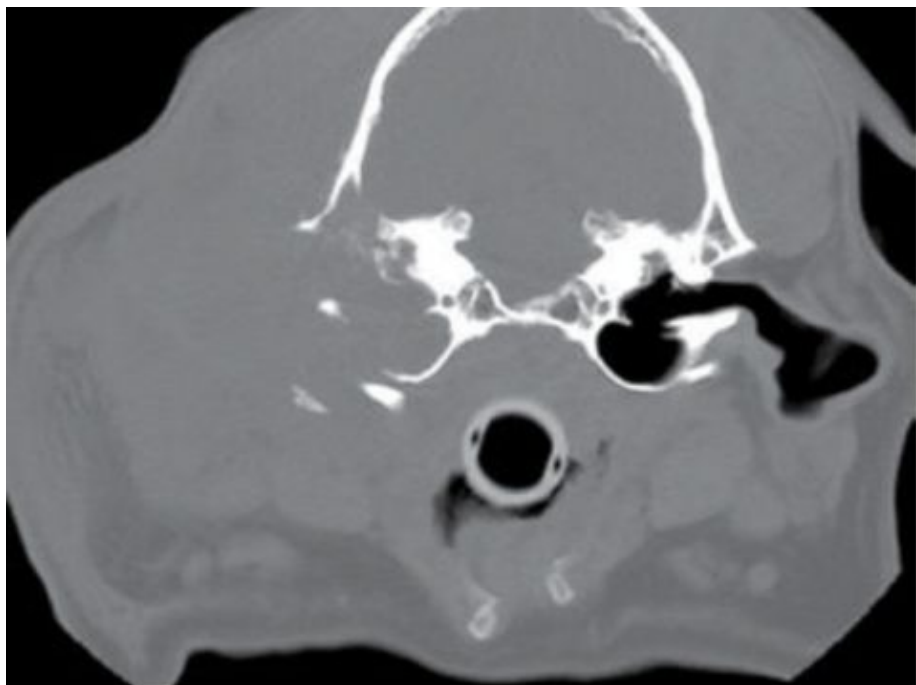
# Анатомия



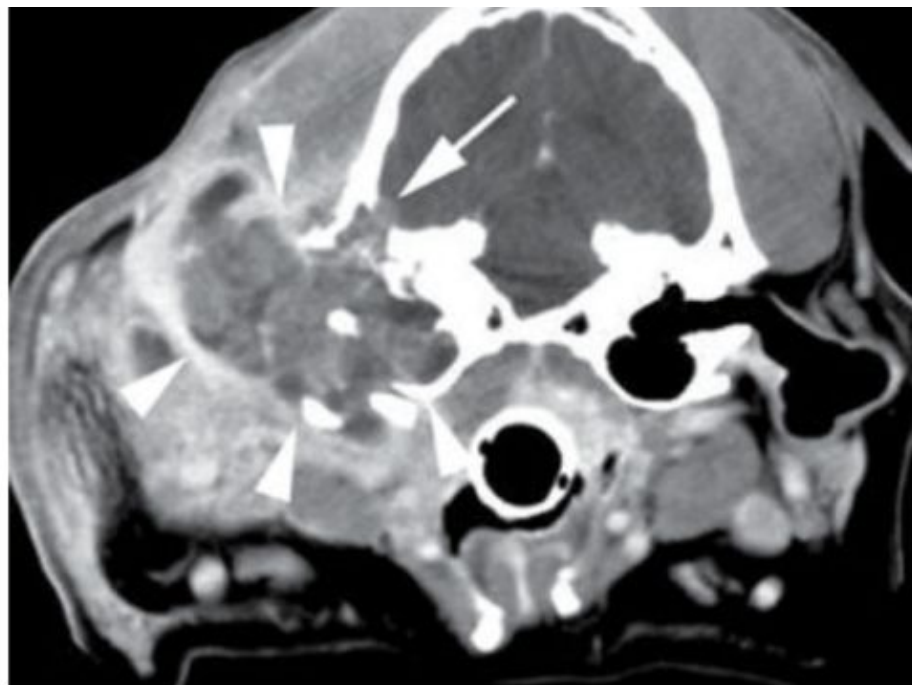
# Анатомия



# SCC слюнной железы собаки (КТ)



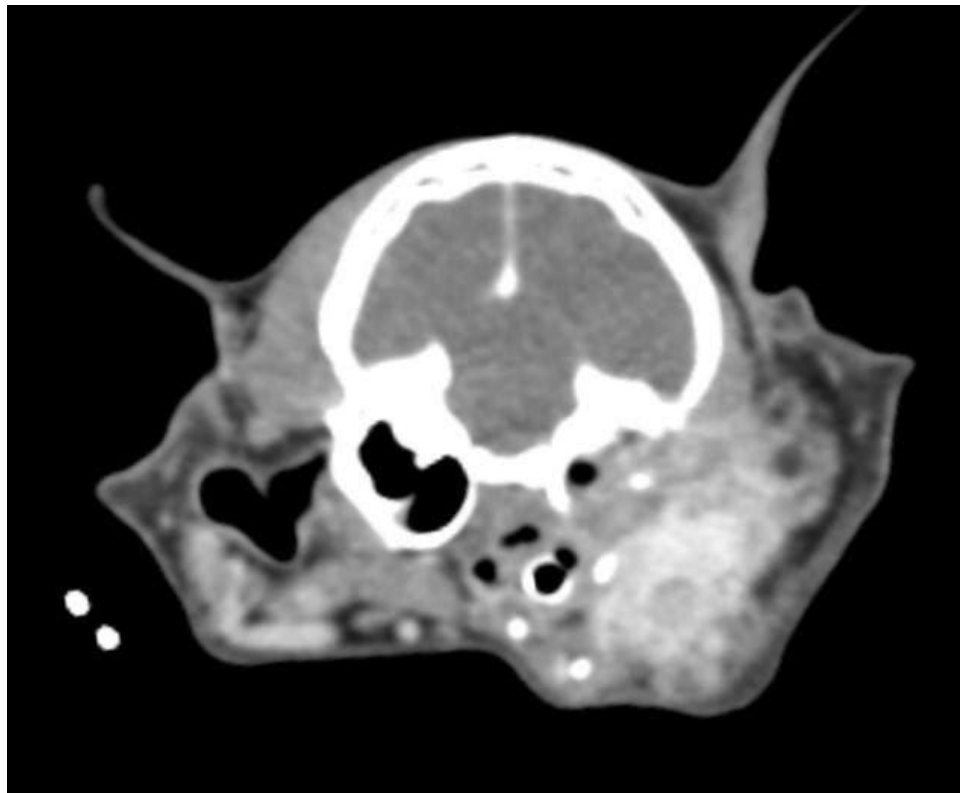
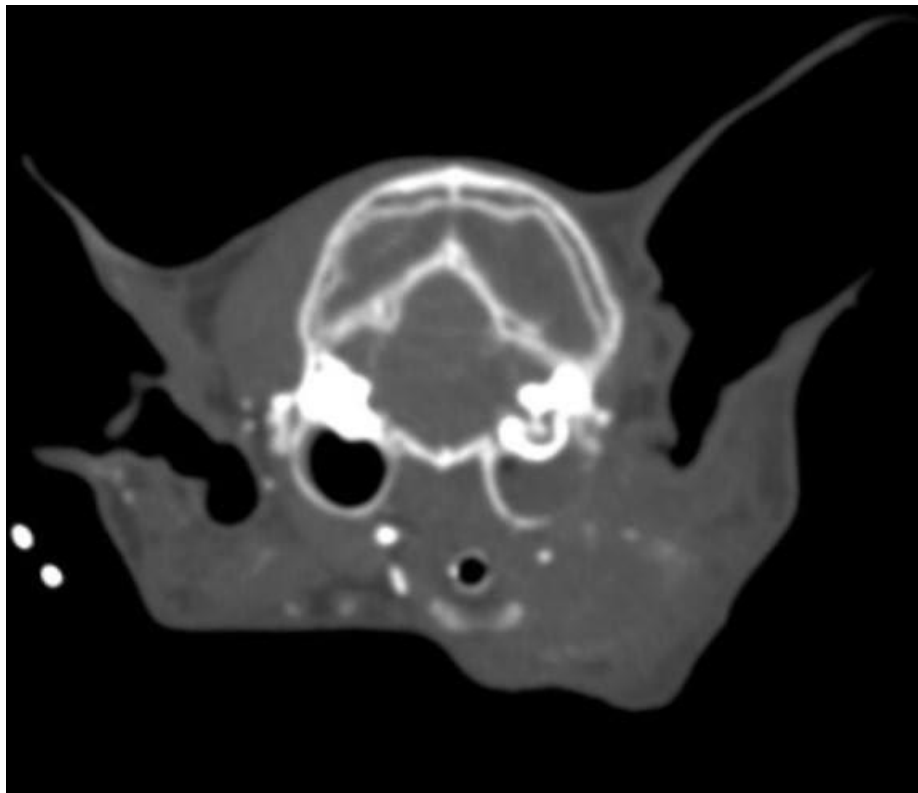
**(a)** CT, TP



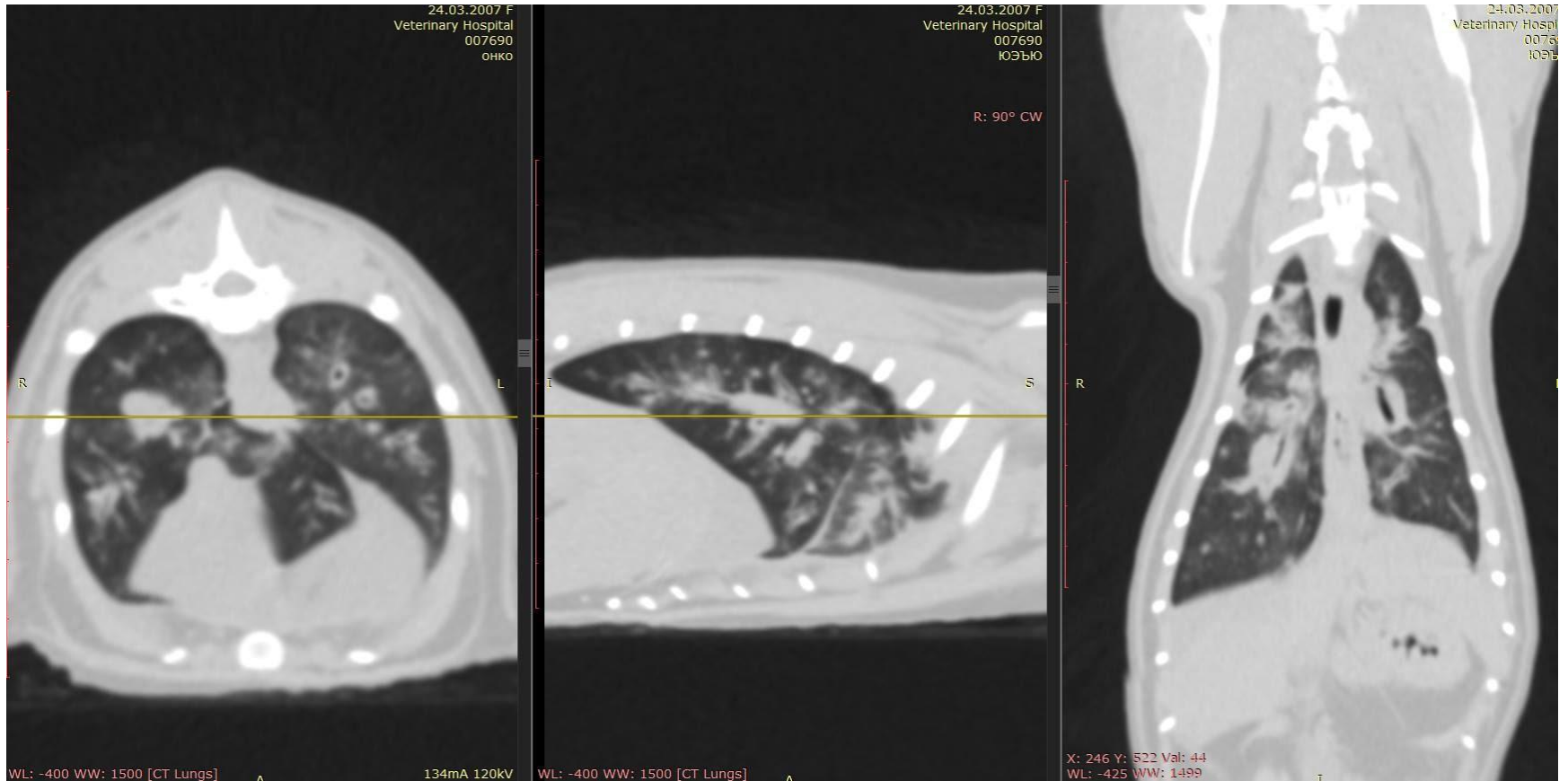
**(b)** CT+C, TP

# Проведённые исследования

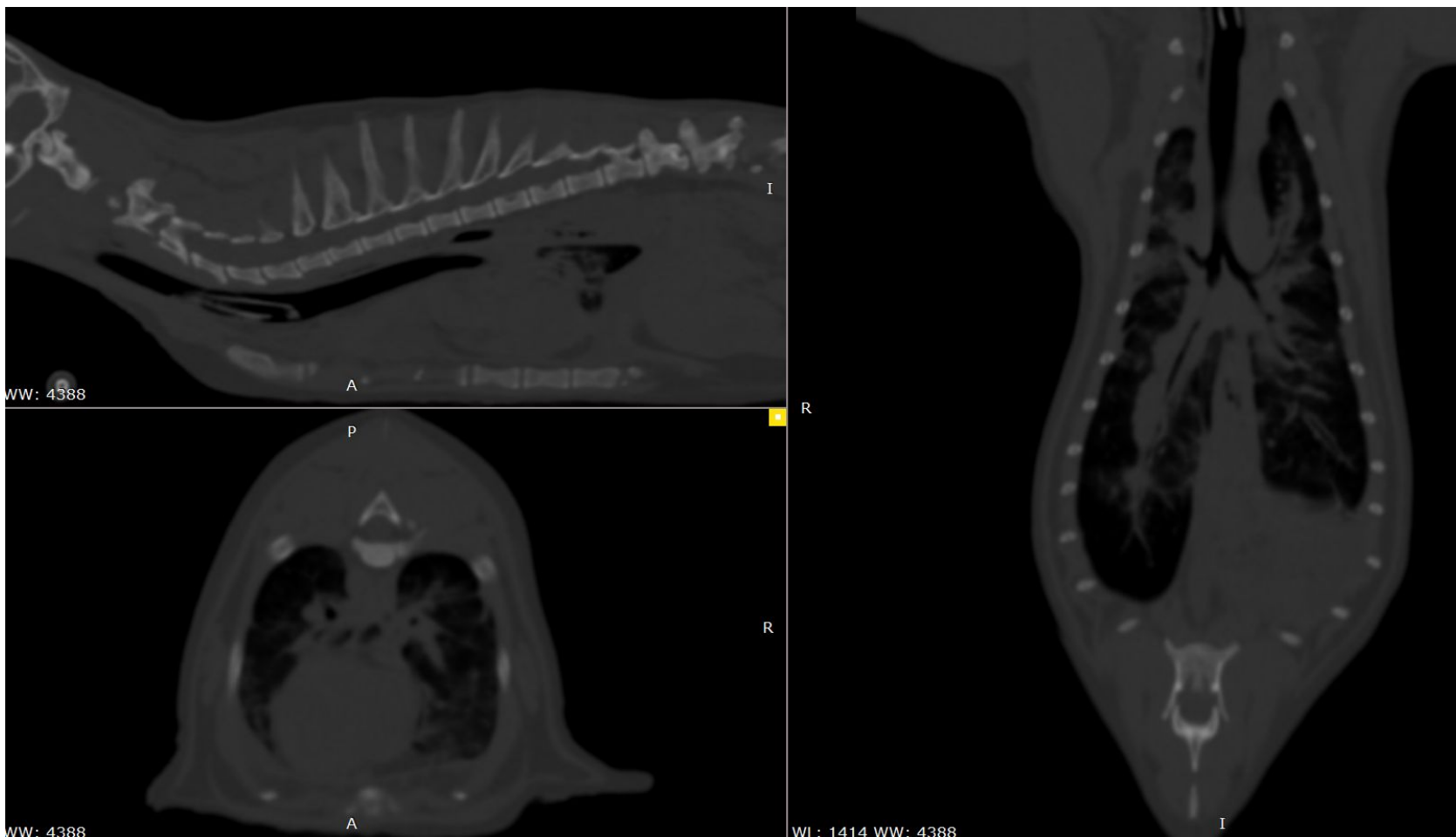
- КТ



# КТ грудной клетки



# Диффузный метастатический карциноматоз легочной ткани





1414 WW: 4388

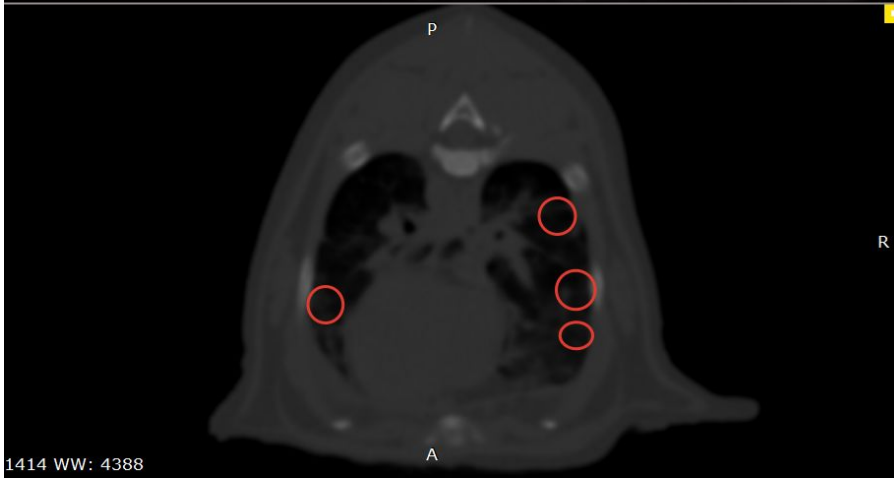


MPR

R

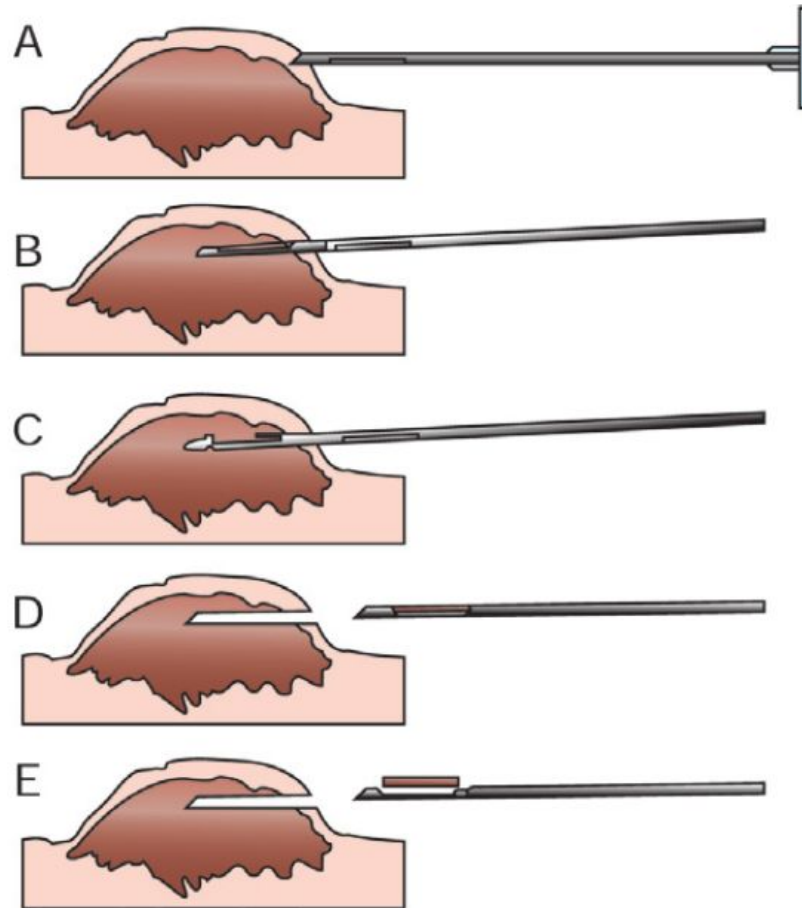
R

WL: 1414 WW: 4388

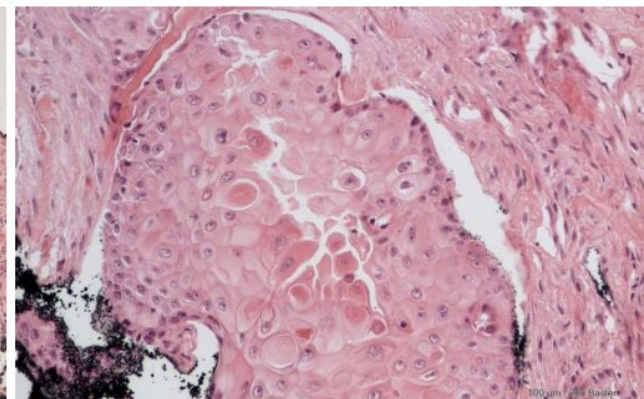
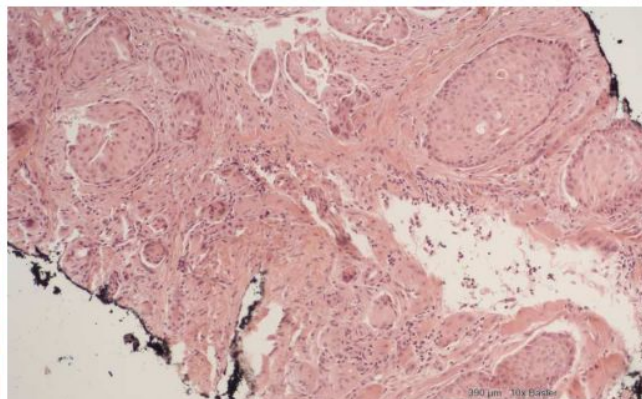
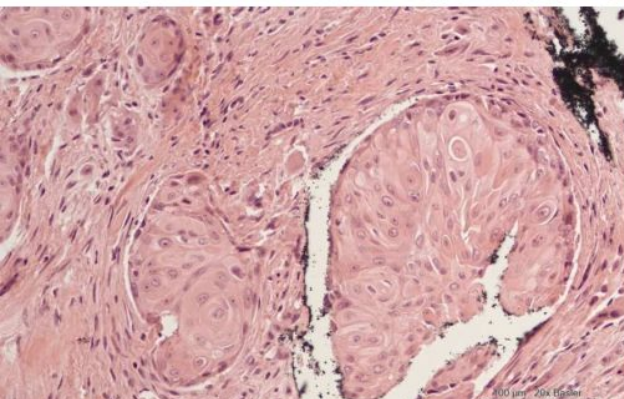
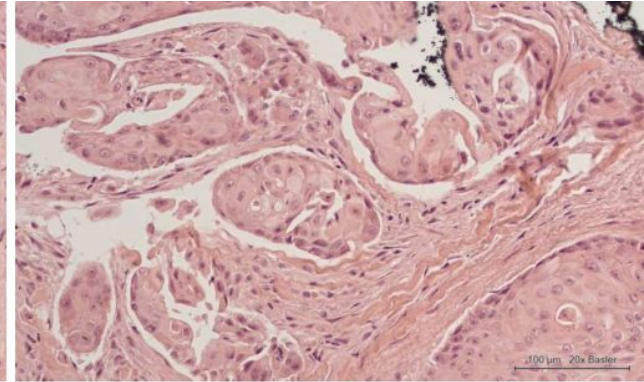
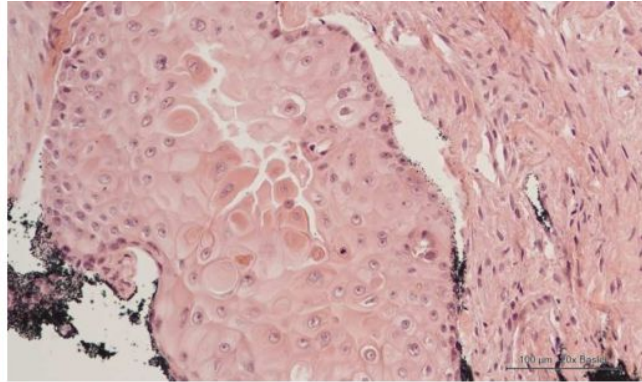
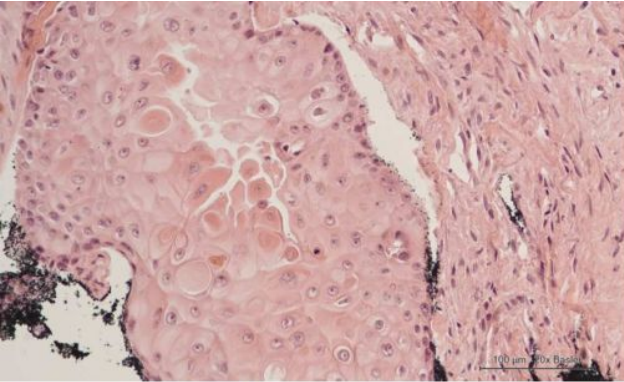


1414 WW: 4388

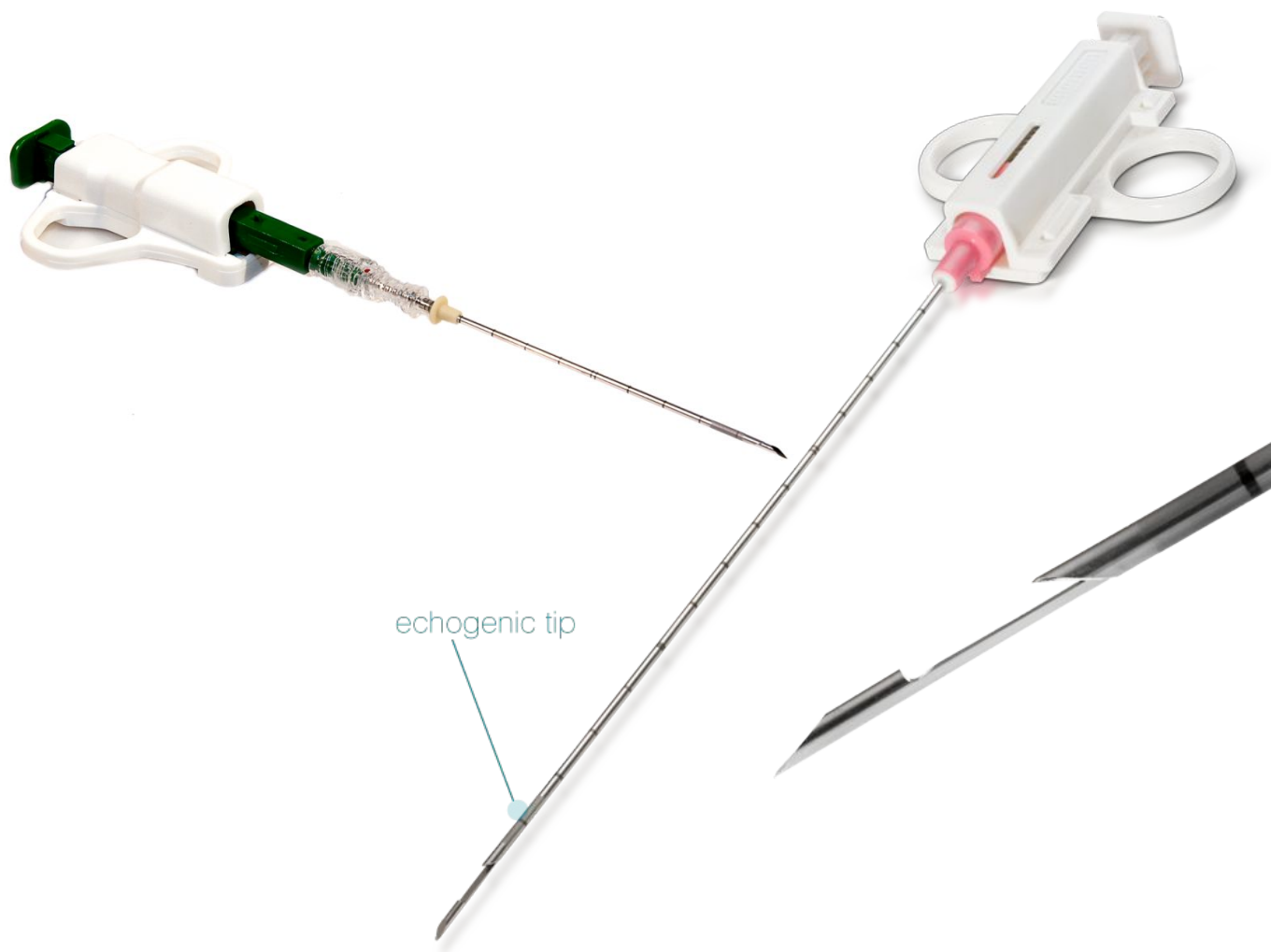
# Взятие биопсийного материала TRU-cut



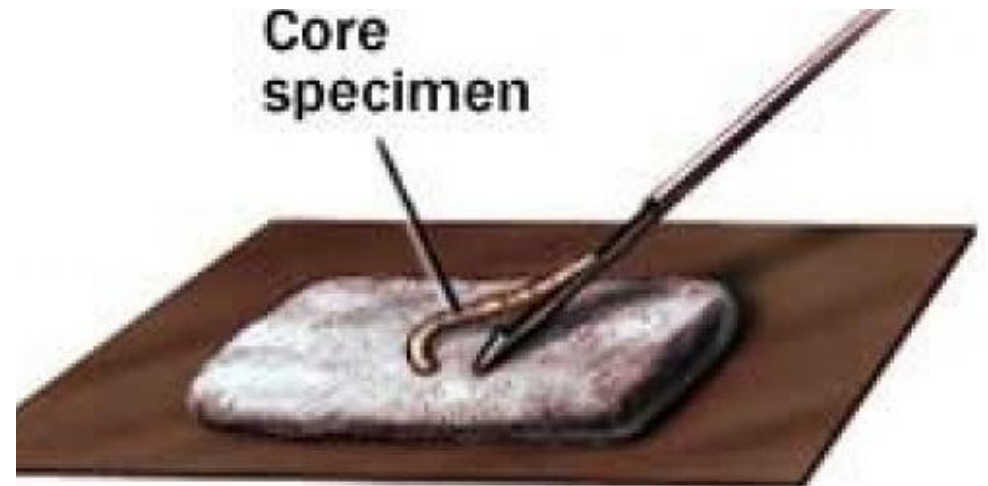
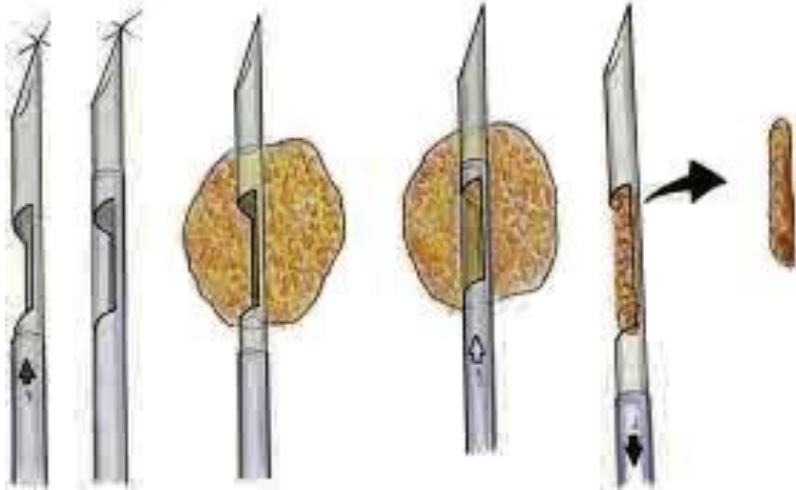
# Гистологическое исследование CORE-биоптата



# Что такое CORE-биопсия



# Что получаем?



# **Salivary Gland Neoplasia in the Dog and Cat: Survival Times and Prognostic Factors**

Twenty-four dogs and 30 cats with histopathologically confirmed salivary gland neoplasia were retrospectively reviewed in a multi-institutional study. The predominant presenting complaint for animals with salivary gland neoplasia was that of a mass being noted by the owner; other common complaints included halitosis, dysphagia, and exophthalmia. Siamese cats were overrepresented, indicating a possible breed predisposition. The most common histopathological type was simple adenocarcinoma. Cats had more advanced disease at diagnosis than did dogs, and clinical staging was prognostic in dogs. The median survival times for dogs and cats were 550 days

# Стадирование (TNM)

Table 1

## Tumor Node Metastases (TNM) Staging of Salivary Tumors in Animals<sup>12</sup>

---

T<sub>1</sub>: <2 cm in greatest dimension

T<sub>2</sub>: 2-4 cm in greatest dimension

T<sub>3</sub>: >4 cm in greatest dimension

N<sub>0</sub>: No nodal involvement

N<sub>1</sub>: Nodal involvement

M<sub>0</sub>: No distant metastases

M<sub>1</sub>: Distant metastases

---

Stage I: T<sub>1</sub>N<sub>0</sub>M<sub>0</sub>

Stage II: T<sub>2</sub> or T<sub>3</sub>, N<sub>0</sub>M<sub>0</sub>

Stage III: Any N<sub>1</sub>, M<sub>0</sub>

Stage IV: Any M<sub>1</sub>

# Локализация первичного неопластического процесса у собак и кошек

**Table 2**

Distribution of Salivary Gland Tumors in the  
Dog and Cat

	<b>Dog</b>	<b>Cat</b>
Mandibular	30%	59%
Parotid	50%	19%
Sublingual and Minor Glands	12%	6%
Zygomatic	4%	3%
Indeterminate	4%	13%

# Гистопатологические характеристики неопластического процесса локализованные в слюнных железах

**Table 3**

Histopathological Features of Salivary Gland Tumors in 24 Dogs and 30 Cats

Histopathological Feature	Dogs (n=24)	Cats (n=30)
Differentiation		
Well	8%	10%
Moderate	33%	60%
Poor	59%	30%
Mean mitotic index (Average number of mitotic figures per high-power field)	1.4	1.7
Mean percent necrosis	42%	42%
Number of animals with vascular embolization	10	17
Number of animals with desmoplasia	15	24

# Выводы

Не своевременно и не верно оцененное исследование замедлило постановку верного диагноза, что сократило медиану выживаемости (516 суток (J Am Anim Hosp Assoc 2001;37:478–482.)) до 180 суток.

Подход к любому онкологическому пациенту должен быть комплексным.

# Литература

1. NEOPLASTIC DISEASE Oral Papillary Squamous Cell Carcinomain Twelve Dogs A. Nemeč, B.G.Murphy, R.C.Jordan, P.H.Kassx and F.J.M.Verstraetek
2. Color Atlas of Veterinary Anatomy, Volume 3, The Dog and Cat, 2nd Edition Stanley H. Done BA BVetMed PhD DECPHM DECPV FRCVS FRCPath, Peter C. Goody BSc MSc(Ed) PhD, Susan A. Evans MISct AIMI MIAS, Neil C. Stickland BSc PhD DSc
3. Atlas of Small Animal CT and MRI Erik R. Wisner, DVM, Dipl. ACVR Professor of Diagnostic Imaging School of Veterinary Medicine University of California Davis, CA
4. Allison L. Zwingenberger, DVM, MAS, Dipl. ACVR, Dipl. ECVDI Associate Professor of Diagnostic Imaging
5. School of Veterinary Medicine University of California Davis, CA
6. Britton PD. Fine needle aspiration or core biopsy. The Breast 1999;8:1-4.
7. National Breast Cancer Centre. Breast fine needle aspiration cytology and core biopsy: a guide for practice [online]. 2004 [cited 2007 February 16th]. Available from:  
[http://www.nbcc.org.au/bestpractice/resources/FNA\\_fineneedleaspir.pdf](http://www.nbcc.org.au/bestpractice/resources/FNA_fineneedleaspir.pdf)
8. National Breast Cancer Centre. 2001. Clinical practice guidelines for the management of early breast cancer: Second edition. National Breast Cancer Centre, Camperdown, NSW. [online] Available from:  
<http://www.nhmrc.gov.au/publications/synopses/cp74syn.htm>
9. National Breast Cancer Centre. The investigation of a new breast symptom: a guide for General Practitioners [online]. 2006 [cited 2007 February 16]. Available from:  
[http://www.nbcc.org.au/bestpractice/resources/IBS172\\_theinvestigationofan.pdf](http://www.nbcc.org.au/bestpractice/resources/IBS172_theinvestigationofan.pdf)
10. Murtagh J. General Practice 3rd ed. Sydney, McGraw-Hill, 2003.

11. Carberry CA, Flanders JA, Harvey HJ, et al. Salivary gland tumors in dogs and cats: a literature and case review. J Am Anim Hosp Assoc 1988;24:561-567.

12. Spangler WL, Culbertson MR. Salivary gland disease in dogs and cats: 245 cases (1985-1988). J Am Vet

Med Assoc 1991;198:465-469. 3. Karbe E, Schiefer B. Primary salivary gland tumors in carnivores.

14. Koestner A, Buerger L. Primary neoplasms of the salivary glands in animals compared to similar tumors in man. Vet Pathol 1965;2:201-226

15. Brunnert SR, Altman NH. Canine lingual acinic cell carcinoma (clear cell variant) of minor salivary gland. Vet Pathol 1990;27:203-205.

16. Buyukmihci N, Rubin LF, Harvey CE. Exophthalmos secondary to zygomatic adenocarcinoma in a dog. J Am Vet Med Assoc 1975;167:162-165.

17. Ratto A, Peiffer RL, Peruccio C, Rossi L. Zygomatic salivary gland adenocarcinoma in a dog. Prog Vet Comp Ophth 1991;1:59-62.

19. Wells GAH, Robinson M. Mixed tumour of salivary gland showing histopathological evidence of malignancy in a cat. *J Comp Path* 1975;85:77-85.
20. Brown PJ, Lucke VM, Sozmen M, *et al.* Lipomatous infiltration of the canine salivary gland. *J Sm Anim Pract* 1997;38:234-236.
21. Bindseil E, Madsen JS. Lipomatosis causing tumor-like swelling of a mandibular salivary gland in a dog. *Vet Rec* 1997;140:583-584.
22. Thackray AC, Sobin LH. Histopathological typing of salivary gland tumours. In: World Health Organization, international histopathological classification of tumours. Geneva. 1972.
23. Molulsky H. *Intuitive biostatistics*. New York: Oxford Univ Press, 1995:272-276.
24. Muscat JE, Wynder EL. A case/control study of risk factors for major salivary gland cancer. *Otolaryngol Head Neck Surg* 1998;118:195-198.
25. Horn-Ross PL, Ljung BM, Morrow M. Environmental factors and the risk of salivary gland cancer. *Epidemiology* 1997;8:414-419.
26. Swanson GM, Burns PB. Cancers of the salivary gland: workplace risks among women and men. *Ann Epidemiol* 1997;7:369-374.
27. Habin DJ, Else RW. Parotid salivary gland adenocarcinoma with bilateral ocular and osseous metastases in a dog. *J Sm Anim Pract* 1995;36:445-449.
28. Burek DA, Munn RJ, Madewell BR. Metastatic adenocarcinoma of a minor salivary gland in a cat. *Zentralbl Veterinarmed A* 1994;41:485- 490.

# Спасибо коллегам

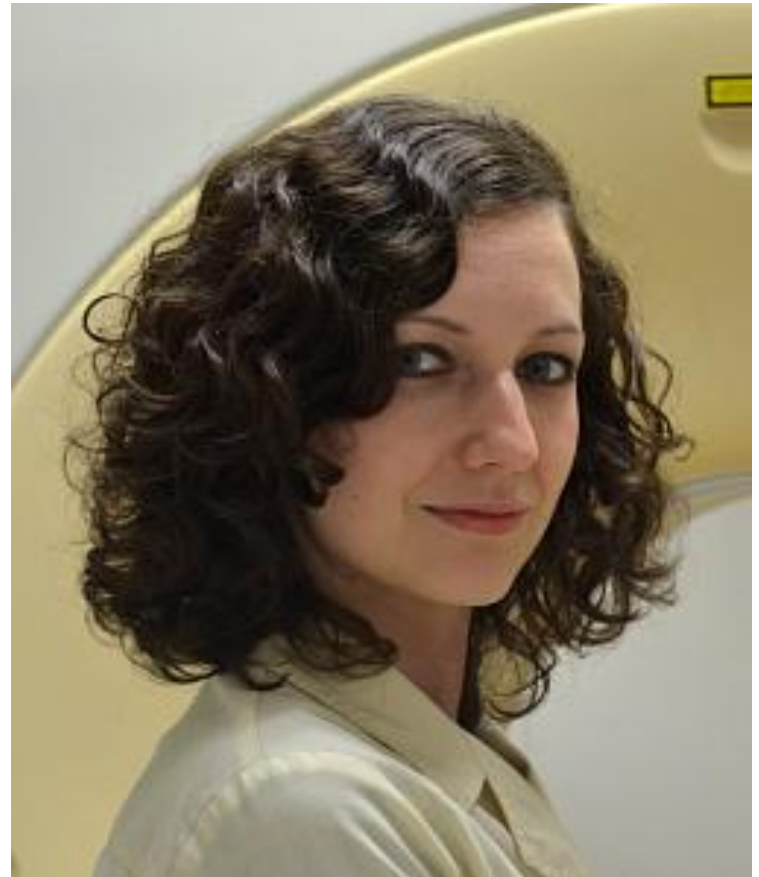
- Меркулова А.С. – анестезиологическое обеспечение



- Хайбуллина Э.Л. – хирургическая ассистенция, информационная поддержка



- Азарова М.С. – визуальная диагностика



- Ганкина Ю.В. – патоморфологический отдел



# Спасибо за внимание

- Сейлиев Д.А.
- +79215649127
- [seiliev\\_da@mail.ru](mailto:seiliev_da@mail.ru)